

**МЕХАНИКА  
ТВЕРДОГО ТЕЛА  
№ 6 • 1996**

УДК 539.374

© 1996 г. В.А. ПЕЛЕШКО

**ДЕФОРМАЦИОННАЯ ТЕОРИЯ ПЛАСТИЧНОСТИ  
ДЕФОРМАЦИОННО-АНИЗОТРОПНЫХ ТЕЛ**

Большинство металлов в начальном состоянии (после выплавки или отжига) вполне изотропны. Однако пластическое деформирование, которому подвергаются перед эксплуатацией детали машин и конструкций для придания им нужных размеров и свойств, вызывает появление анизотропии упругопластических характеристик. В настоящей работе строится модель, пригодная для расчета конструкций в случае предварительного и повторного нагружений, близких к простым. Для такого вида нагружений целесообразно использовать определяющие соотношения конечного, а не дифференциального типа.

Предложены определяющие соотношения деформационного (конечного) типа для класса процессов простого нагружения материалов, анизотропных вследствие предварительного простого пластического деформирования с полной разгрузкой. При этом девиатор напряжений представлен в виде аддитивного ортогонального разложения по девиатору деформаций и девиатору векторной анизотропии. Коэффициентами этого разложения являются две материальные функции от интенсивности деформаций на этапе повторного нагружения и от угла между направлениями предварительного и повторного деформирования. Получены условия на материальные функции, при которых решение краевой задачи (в обобщенной постановке) существует и единственно; предложен итерационный метод (типа упругих решений) для его нахождения. Для идентификации модели достаточно знать диаграммы "напряжение – деформация" в двух простейших опытах на одноосное нагружение: активное – из начального изотропного состояния и обратное – после этого предварительного нагружения. Показано хорошее согласие с экспериментами из рассматриваемого класса процессов для мало- и среднеуглеродистых сталей, хромоникелевой стали, латуни, алюминиевого сплава. Обсуждаются обобщения на случаи произвольной величины предварительной деформации и разгрузки в состояние с ненулевым напряжением.

**1. Определяющие соотношения.** В соответствии с применяемым обычно в теории упругопластических процессов [1,2] подходом, разделим объемные и сдвиговые свойства материала. Относительно первых будем считать справедливым линейный закон связи между первыми инвариантами тензоров напряжений и деформаций:

$$\sigma_{mm} = 3K\epsilon_{mm} \quad (1.1)$$

где  $K$  – модуль объемной упругости.

Сдвиговые свойства материала удобно исследовать в пятимерном изображающем пространстве  $\mathcal{E}_5$  А.А. Ильюшина [2]. Определим основной класс процессов деформации  $Q$  для последующего изучения (см. фиг. 1): пропорциональное активное деформирование  $O_0A$  из начального изотропного состояния  $O_0$  в пластическое состояние  $A$ , разгрузка  $AO$ , пропорциональное деформирование  $OB$  из нового начального состояния  $O$ . Свойства материала будем считать склерономными (не зависящими от скорости деформаций).

Отправной точкой для построения теории повторного простого нагружения явилось представление [2] вектора напряжений  $\sigma$  в плоскости векторов деформации  $\varepsilon = \overrightarrow{OB}$  и предварительного нагружения  $p = \overrightarrow{O_0A}/|O_0A|$ :

$$\sigma = N\varepsilon + Lp \quad (1.2)$$

где  $N, L$  – материальные функции от геометрических характеристик процесса  $O_0AOB$  (в частности, инвариантов векторов  $\varepsilon$  и  $p$ , в том числе совместных). Математические аспекты соотношения (1.2) исследованы в работе [3].

Следует отметить, что в случае близости направлений  $\varepsilon$  и  $\pm p$  разложение (1.2) становится плохо обусловленным: коэффициенты  $N, L$  чувствительны к малым изменениям угла  $\alpha$  при  $\alpha$  близких к 0 или  $\pi$ . Кроме того, при таких  $\alpha$  величина  $L$  перестает быть малой по сравнению с  $N$ . С практической точки зрения представляется целесообразным модифицировать соотношение (1.2), заменив его ортогональным разложением  $\sigma$  в плоскости  $(\varepsilon, p)$ :

$$\sigma = \Phi \varepsilon / \varepsilon + \Psi n \quad (1.3)$$

где  $\varepsilon \equiv |\varepsilon|$ ;  $n$  – единичный вектор, лежащий в плоскости  $(\varepsilon, p)$  ортогонально к  $\varepsilon$  и под острым углом к  $p$  (см. фиг. 1). Указанными свойствами единственным образом определяется вектор

$$n = p / \sin \alpha - \varepsilon / \varepsilon / \operatorname{tg} \alpha \quad (1.4)$$

Негативное влияние математической особенности при  $\alpha = 0; \pi$  перенесено теперь с коэффициентов разложения  $N, L$ , которые подлежат экспериментальному определению, на базисный вектор  $n$ , вычисляемый по формуле (1.4). Если положить  $\Psi = 0$  при значениях  $\alpha$  внутри небольших отрезков, расположенных на краях интервала  $[0; \pi]$  – области изменения угла  $\alpha \equiv \arccos(p \cdot \varepsilon / \varepsilon)$ , то неопределенность выражения (1.4) при  $\alpha = 0; \pi$  не отразится на соотношении (1.3): при  $\alpha$  близких к 0;  $\pi$  соотношение (1.3) будет иметь вид  $\sigma = \Phi \varepsilon / \varepsilon$ . Как показано далее, это предположение относительно  $\Psi$  оправдано экспериментально.

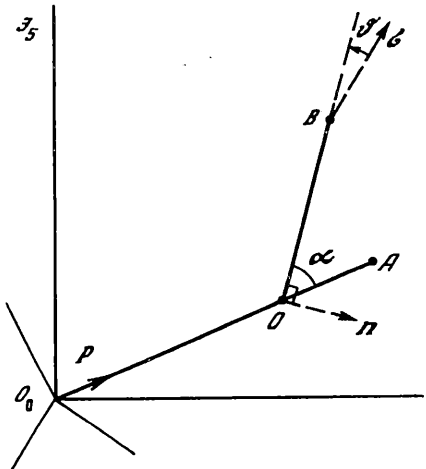
Найденные из опытов компоненты ортогонального разложения (1.3) таковы, что величина  $\Psi$  мала по сравнению с  $\Phi$ , поэтому  $\sigma \equiv |\sigma| = (\Phi^2 + \Psi^2)^{1/2} \approx \Phi$ , то есть  $\Phi$  определяет скалярные свойства (модуль вектора напряжений  $\sigma$ ). В свою очередь, функция  $\Psi$  определяет векторные свойства:  $\Psi = \sigma \sin \vartheta$ , где  $\vartheta \equiv \alpha - \beta$  – угол между векторами  $\sigma$  и  $\varepsilon$ ;  $\beta \equiv \arccos(p \cdot \sigma / \sigma)$ . Укажем также, что компоненты разложений (1.2) и (1.3) связаны простыми соотношениями  $N = \Phi - \Psi \operatorname{ctg} \alpha$ ,  $L = \Psi / \sin \alpha$ , и зная  $\Phi, \Psi$ , можно найти  $N, L$ .

Установим общую структуру коэффициентов  $\Phi, \Psi$ . Согласно постулату изотропии [2], в классе процессов  $Q$  они являются функциями параметров внутренней геометрии траектории деформации:

$$\Phi = \Phi(\varepsilon_0, \Delta \varepsilon_0, \varepsilon, \alpha), \quad \Psi = \Psi(\varepsilon_0, \Delta \varepsilon_0, \varepsilon, \alpha) \quad (1.5)$$

где  $\varepsilon_0 = |O_0A|$  – предварительная деформация;  $\Delta \varepsilon_0 = -|AO|$  – деформация, полученная на этапе разгрузки. Перенесем в п. 4 настоящей статьи исследование зависимостей (1.5) от двух первых параметров, предполагая, что значение предварительной деформации  $\varepsilon_0$  задано и составляет  $\sim 10^{-2}$  (то есть находится в области упрочнения), а разгрузка  $AO$  является полной (до нуля по напряжениям в точке  $O$ ). Тогда закон связи векторов напряжений и деформаций примет вид

$$\sigma = \Phi(\varepsilon, \alpha) \varepsilon / \varepsilon + \Psi(\varepsilon, \alpha) n \quad (1.6)$$



Фиг. 1

Выбор пары  $(\varepsilon, \alpha)$  среди всех возможных (исходя из постулата изотропии) пар геометрических характеристик звена  $OB$  обусловлен удобством разделения скалярных и векторных параметров ( $\alpha = \text{const}$  в течение процесса из класса  $Q$ ) и опытом подобных исследований [4, 5].

**2. Исследование математической корректности краевой задачи.** Пусть под действием массовых и поверхностных сил  $\mathbf{X}(t, \mathbf{x}), \mathbf{T}(t, \mathbf{x})$  в каждой точке тела  $\mathbf{x} \in \Omega \subset R^3$  реализуется упругопластический процесс из класса  $Q$  (обсуждение этого предположения будет дано в п. 4). Будем считать, что из решения краевой задачи теории малых упругопластических деформаций [1] об активном предварительном нагружении и краевой задачи о разгрузке (в линейной [1] или, при необходимости, в физически нелинейной [6, 7] постановке) известно поле девиатора остаточной деформации  $\mathcal{E}_{ij}^r(\mathbf{x})$ , а следовательно и поле направляющего девиатора предварительного нагружения  $P_{ij}(\mathbf{x}) = \mathcal{E}_{ij}^r(\mathbf{x})/\varepsilon^r(\mathbf{x})$ , где  $\varepsilon^r \equiv (\mathcal{E}_{mn}^r \mathcal{E}_{mn}^r)^{1/2}$ . Тогда система уравнений краевой задачи о повторном нагружении при использовании определяющих соотношений (1.6), (1.1) имеет вид

$$\begin{aligned} \sigma_{ij,j} + X_i &= 0, \quad S_{ij} = \Phi(\varepsilon, \alpha) \mathcal{E}_{ij} / \varepsilon + \Psi(\varepsilon, \alpha) N_{ij}, \quad \sigma_{mm} = 3K\varepsilon_{mm} \\ S_{ij} &= \sigma_{ij} - \sigma_{mm} \delta_{ij} / 3, \quad \mathcal{E}_{ij} = \varepsilon_{ij} - \varepsilon_{mm} \delta_{ij} / 3, \quad \varepsilon = (\mathcal{E}_{mn} \mathcal{E}_{mn})^{1/2} \\ \alpha &= \arccos(P_{mn} \mathcal{E}_{mn} / \varepsilon), \quad N_{ij} = P_{ij} / \sin \alpha - \mathcal{E}_{ij} / \varepsilon / \operatorname{tg} \alpha \\ \varepsilon_{ij} &= (u_{i,j} + u_{j,i}) / 2, \quad u_i|_{\Sigma_1} = 0, \quad \sigma_{ij} n_j|_{\Sigma_2} = T_i \\ \Sigma_1 \cup \Sigma_2 &= \partial \Omega, \quad \Sigma_1 \cap \Sigma_2 = \emptyset, \quad \Sigma_1 \neq \emptyset \end{aligned} \quad (2.1)$$

Традиционным способом перейдем к обобщенной постановке краевой задачи (2.1) в виде нелинейного операторного [8] уравнения

$$\begin{aligned} \mathbf{A}\mathbf{u} &= \mathbf{f}, \quad \mathbf{A}: H(\Omega) \rightarrow H^*(\Omega), \quad \mathbf{f} \in H^*(\Omega) \\ \langle \mathbf{A}\mathbf{u}, \mathbf{v} \rangle &= \int_{\Omega} [S_{ij}(\mathbf{u}) + \sigma_{mm}(\mathbf{u}) \delta_{ij} / 3] \varepsilon_{ij}(\mathbf{v}) d\Omega \\ \langle \mathbf{f}, \mathbf{v} \rangle &= \int_{\Omega} X_m v_m d\Omega + \int_{\Sigma_2} T_m v_m d\Sigma_2, \quad \forall \mathbf{u}, \mathbf{v} \in H(\Omega) \end{aligned} \quad (2.2)$$

Здесь  $H(\Omega)$  – гильбертово пространство, образованное замыканием множества вектор-функций  $\{u_i \in C^2(\Omega); u_i|_{\Sigma_1} = 0\}$  в норме, соответствующей скалярному произведению

$$\langle \mathbf{u}, \mathbf{v} \rangle = \int_{\Omega} [2G\mathcal{E}_{ij}(\mathbf{u}) \mathcal{E}_{ij}(\mathbf{v}) + K\varepsilon_{mm}(\mathbf{u}) \varepsilon_{mm}(\mathbf{v})] d\Omega, \quad \forall \mathbf{u}, \mathbf{v} \in H(\Omega)$$

При этом предполагается, что функции  $\Phi(\varepsilon, \alpha)/\varepsilon$  и  $\Psi(\varepsilon, \alpha)/\varepsilon$  непрерывны и ограничены, а внешние нагрузки удовлетворяют условиям

$$X_i(t, \mathbf{x}) \in L^p(\Omega) \quad (p > 6/5), \quad T_i(t, \mathbf{x}) \in L^q(\Sigma_2) \quad (q > 4/3) \quad (2.3)$$

Если выполнено неравенство

$$\Phi(\varepsilon, \alpha) / \varepsilon \geq \delta = \text{const} > 0, \quad \forall (\varepsilon, \alpha) \in (0; +\infty) \times [0; \pi] \quad (2.4)$$

то оператор  $\mathbf{A}$  (2.2) коэрцитивен

$$\langle \mathbf{A}\mathbf{u}, \mathbf{u} \rangle = \int_{\Omega} [\Phi(\varepsilon, \alpha) \varepsilon + K(\varepsilon_{mm})^2] d\Omega \geq \min\{\delta / (2G); 1\} \langle \mathbf{u}, \mathbf{u} \rangle, \quad \forall \mathbf{u} \in H(\Omega)$$

Следующие условия:

$$\Phi(\varepsilon, \alpha) - \Psi(\varepsilon, \alpha) \operatorname{ctg} \alpha > 0, \quad \forall (\varepsilon, \alpha) \in (0; +\infty) \times (0; \pi) \quad (2.5)$$

$$W \equiv \Phi(\varepsilon_1, \alpha_1)[\varepsilon_1 - \varepsilon_2 \cos(\alpha_2 - \alpha_1)] + \Phi(\varepsilon_2, \alpha_2)[\varepsilon_2 - \varepsilon_1 \cos(\alpha_2 - \alpha_1)] +$$

$$\begin{aligned}
& + \Psi(\vartheta_1, \alpha_1) \vartheta_2 [\cos \alpha_1 \cos(\alpha_2 - \alpha_1) - \cos \alpha_2] / \sin \alpha_1 + \\
& + \Psi(\vartheta_2, \alpha_2) \vartheta_1 [\cos \alpha_2 \cos(\alpha_2 - \alpha_1) - \cos \alpha_1] / \sin \alpha_2 > 0, \\
\forall (\vartheta_1, \alpha_1), (\vartheta_2, \alpha_2) \in (0; +\infty) \times (0; \pi), \quad (\vartheta_1, \alpha_1) \neq (\vartheta_2, \alpha_2)
\end{aligned} \tag{2.6}$$

обеспечивают строгую монотонность оператора  $\mathbf{A}$ :

$$\begin{aligned}
\langle \mathbf{A}\mathbf{u}_1 - \mathbf{A}\mathbf{u}_2, \mathbf{u}_1 - \mathbf{u}_2 \rangle &= \int_{\Omega} [S_{ij}(\mathbf{u}_1) - S_{ij}(\mathbf{u}_2)][\varTheta_{ij}(\mathbf{u}_1) - \varTheta_{ij}(\mathbf{u}_2)]d\Omega + \\
& + K \int_{\Omega} [\varepsilon_{mm}(\mathbf{u}_1) - \varepsilon_{mm}(\mathbf{u}_2)]^2 d\Omega \geq \int_{\Omega} W d\Omega > 0, \quad \forall \mathbf{u}_1, \mathbf{u}_2 \in H(\Omega), \quad \mathbf{u}_1 \neq \mathbf{u}_2
\end{aligned}$$

Радиальная непрерывность оператора  $\mathbf{A}$  следует из непрерывности функций  $\Phi(\vartheta, \alpha)$  и  $\Psi(\vartheta, \alpha)$ .

Из установленных свойств оператора  $\mathbf{A}$  следует [8]:

*Теорема.* Пусть непрерывные и ограниченные функции  $\Phi(\vartheta, \alpha)/\vartheta$  и  $\Psi(\vartheta, \alpha)/\vartheta$  удовлетворяют условиям (2.4)–(2.6), а внешние нагрузки – условиям (2.3). Тогда обобщенное решение  $\mathbf{u} \in H(\Omega)$  краевой задачи (2.1) существует и единственно.

Для решения задачи (2.1) можно предложить следующий итерационный метод:

$$\begin{aligned}
2G\varTheta_{ij,j}^{(k+1)} + K\varepsilon_{mm,i}^{(k+1)} + X_i^{(k)} &= 0 \tag{2.7} \\
[2G\varTheta_{ij}^{(k+1)}n_j + K\varepsilon_{mm}^{(k+1)}n_i]_{\Sigma_2} &= T_i^{(k)}, \quad u_i^{(k+1)}|_{\Sigma_1} = 0 \quad (k = 0, 1, 2, \dots) \\
X_i^{(k)} &\equiv -2G\varTheta_{ij,j}^{(k)} - K\varepsilon_{mm,i}^{(k)} + \\
& + \gamma_k \{X_i + [\Phi(\vartheta^{(k)}, \alpha^{(k)})\varTheta_{ij}^{(k)} / \vartheta^{(k)} + \Psi(\vartheta^{(k)}, \alpha^{(k)})N_{ij}^{(k)}]_{,j} + K\varepsilon_{mm,i}^{(k)}\} \\
T_i^{(k)} &\equiv [2G\varTheta_{ij}^{(k)}n_j + K\varepsilon_{mm}^{(k)}n_i]_{\Sigma_2} + \\
& + \gamma_k \{T_i - [\Phi(\vartheta^{(k)}, \alpha^{(k)})\varTheta_{ij}^{(k)} / \vartheta^{(k)} + \Psi(\vartheta^{(k)}, \alpha^{(k)})N_{ij}^{(k)}]n_j - K\varepsilon_{mm}^{(k)}n_i\}_{\Sigma_2}, \quad \gamma_k \in (0; 1]
\end{aligned}$$

На каждом итерационном шаге следует решить краевую задачу линейной теории упругости с фиктивными внешними нагрузками  $\mathbf{X}^{(k)}$ ,  $\mathbf{T}^{(k)}$ , определенными из решения задачи на предыдущем шаге. В качестве нулевого приближения можно взять  $\mathbf{u}^{(0)} \equiv 0$ , тогда на первом шаге будем иметь задачу теории упругости с реальными нагрузками  $\mathbf{X}$ ,  $\mathbf{T}$  (при  $\gamma_0 = 1$ ). В практических расчетах можно положить  $\gamma_k \equiv 1$  и лишь в случае неустойчивости процесса сходимости необходимо скорректировать  $\gamma_k$  в сторону приближения к нулю.

Заметим, что при выполнении условий теоремы соотношение (1.6) устанавливает взаимнооднозначное и непрерывное соответствие между векторами  $\sigma$  и  $\vartheta$ : если задан  $\vartheta$ , то  $\sigma$  находится в явном виде; если задан  $\sigma$ , то  $\vartheta$  однозначно находится из решения алгебраической системы, например, итерационным методом

$$\vartheta^{(k+1)} = \vartheta^{(k)} - \gamma_k [\sigma(\vartheta^{(k)}) - \sigma]/(2G) \quad (k = 0, 1, 2, \dots; \quad \gamma_k \in (0; 1])$$

Несколько замечаний о физическом смысле условий теоремы. Так как функция  $\Phi(\vartheta, \alpha)$  определяет величину  $\sigma$ , то условие (2.4) и условие строгой монотонности  $\Phi(\vartheta, \alpha)$  по аргументу  $\vartheta$  при любом фиксированном  $\alpha$  (частный случай условия (2.6) при  $\alpha_1 = \alpha_2 = \alpha$ ) выделяют класс материалов, упрочняющихся при повторном пропорциональном деформировании. Отметим, что в экспериментах даже те металлы, которые имеют площадку текучести при деформировании из начального изотропного состояния (мало- и среднеуглеродистые стали), при повторном пропорциональном нагружении в любом фиксированном направлении обнаруживают положительное упрочнение [9, 10].

Условие (2.5) также имеет ясный физический смысл: в разложении (1.2) компонента  $N = \Phi - \Psi \operatorname{ctg} \alpha$  положительна. Это означает, что проекции векторов  $\sigma$  и  $\vartheta$  на вектор,

ортогональный к  $\mathbf{p}$  и лежащий в плоскости  $(\vartheta, \mathbf{p})$ , должны быть одного знака (например, если  $\mathbf{p}$  соответствует кручению, то при повторной пропорциональной комбинации деформаций осевого растяжения и кручения не может возникнуть сжимающее осевое напряжение), что подтверждается экспериментами [9–12].

Второе из условий монотонности  $\mathbf{A}$  – условие (2.6) – сложным образом связывает две пары переменных и, за исключением уже рассмотренного частного случая  $\alpha_1 = \alpha_2$ , не допускает простой физической интерпретации. Оно должно быть просто проверено (например, каким-либо численным методом), если найдены экспериментальные аппроксимации функций  $\Phi(\vartheta, \alpha)$ ,  $\Psi(\vartheta, \alpha)$ .

**3. Аппроксимации материальных функций и экспериментальная проверка определяющих соотношений.** Систематическое экспериментальное исследование пропорционального повторного нагружения проведено в работе [9]. Отожженные тонкостенные трубчатые образцы из малоуглеродистой стали S10C испытаны по двум сериям программ: а) предварительное кручение до деформации 2 или 4%, затем полная разгрузка и повторное нагружение комбинацией растяжения и кручения в плоскости  $(\sigma_1 = \sqrt{2/3}\sigma_{11}, \sigma_3 = \sqrt{2}\sigma_{12})$  под углом  $\beta_0 = (j - 1)\pi/6, j = 1, 2, \dots, 7$  к предварительному нагружению; б) – аналогично а), но в качестве предварительного нагружения выбрано растяжение<sup>1</sup>.

На фиг. 2, а; 2, б сплошными линиями представлены экспериментальные зависимости  $\sigma$  и  $\vartheta$  от  $\vartheta$ , вычисленные<sup>2</sup> по данным [9] для программ серии а) в случае 4% – предварительной деформации (на фиг. 2 и б напряжения даны в кГ/мм<sup>2</sup>, деформации – в процентах, угол  $\vartheta$  – в градусах). Номер каждой кривой совпадает со значением  $j$  в формуле, задающей  $\beta_0$ . В остальных группах опытов [9] результаты аналогичны и поэтому в данной работе не приводятся.

Рассмотрим вначале скалярные свойства как более простые в описании. Так как кривые  $\sigma \sim \vartheta$  при всех  $\beta_0 \in (0; \pi)$  монотонно расположены между кривыми 1 ( $\beta_0 = 0$ ) и 7 ( $\beta_0 = \pi$ ), то функцию скалярных свойств  $\Phi(\vartheta, \alpha)$  удобно искать в виде

$$\Phi(\vartheta, \alpha) = F_1(\vartheta)\cos^2\phi(\alpha) + F_2(\vartheta)\sin^2\phi(\alpha) \quad (3.1)$$

где  $F_1(\vartheta)$  и  $F_2(\vartheta)$  – функции прямого и обратного нагружения, определяемые кривыми 1 и 7 соответственно. Исходя из конкретного расположения кривых  $\sigma \sim \vartheta$  на фиг. 2, а, можно предложить следующую аппроксимацию для вспомогательного угла  $\phi$  (фиг. 3):

$$\phi(\alpha) = [(\alpha - \pi/6)h(\alpha - \pi/6) + (\alpha - 5\pi/6)h(\alpha - 5\pi/6)]/2 \quad (3.2)$$

где  $h(x)$  – функция Хевисайда. Тогда, в частности,

$$\Phi(\vartheta, 0) = \Phi(\vartheta, \pi/6) = F_1(\vartheta), \quad \Phi(\vartheta, \pi/3) = 0,93F_1(\vartheta) + 0,07F_2(\vartheta)$$

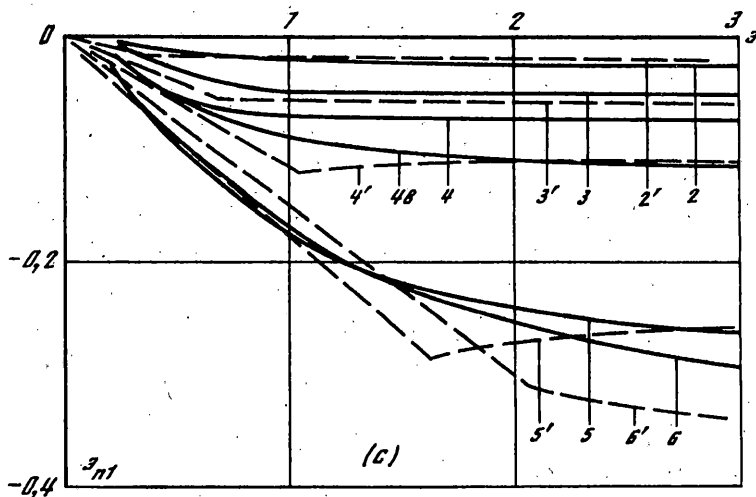
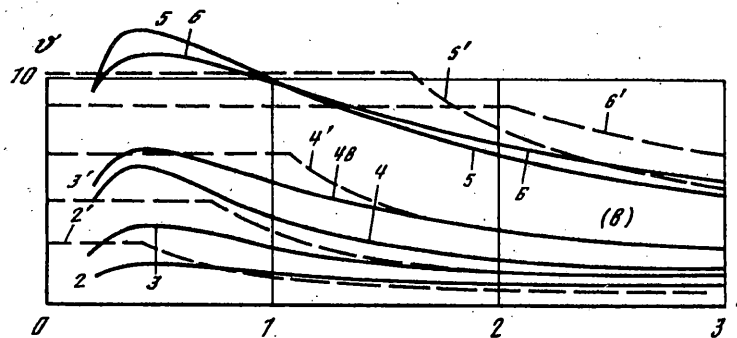
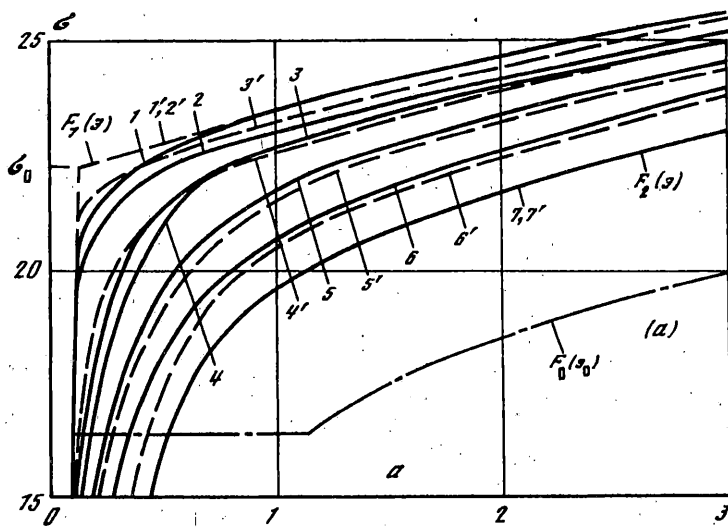
$$\Phi(\vartheta, \pi/2) = 0,75F_1(\vartheta) + 0,25F_2(\vartheta), \quad \Phi(\vartheta, 2\pi/3) = [F_1(\vartheta) + F_2(\vartheta)]/2$$

$$\Phi(\vartheta, 5\pi/6) = 0,25F_1(\vartheta) + 0,75F_2(\vartheta), \quad \Phi(\vartheta, \pi) = F_2(\vartheta)$$

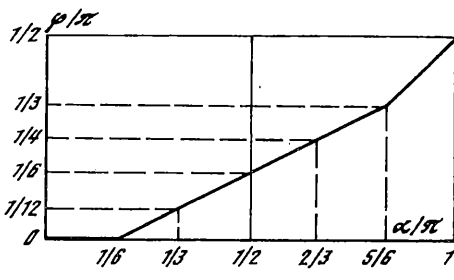
Функцию  $F_1(\vartheta)$  можно аппроксимировать линейно-упругим участком при  $\sigma \leq \sigma_0$  и

<sup>1</sup> Стого говоря, указанные программы нагружения не принадлежат к первоначально выделенному классу  $Q$ : по виду они аналогичны процессам из класса  $Q$ , но в пространстве напряжений  $\Sigma_5$ , а не в пространстве деформаций  $\mathcal{E}_5$ . Однако в силу малости [9–12] угла  $\vartheta$  в таких опытах вполне приемлемо для целей аппроксимации материальных функций и проверки определяющих соотношений использовать процессы повторного пропорционального нагружения. Класс таких процессов обозначим через  $Q_1$ .

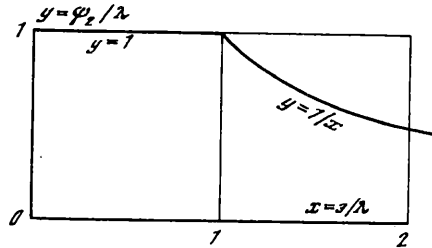
<sup>2</sup> Пространство напряжений  $(\sigma_1, \sigma_3)$  модифицировано [9]:  $(\sigma_1^* = q_1\sigma_1, \sigma_3^* = \sigma_3)$ . Для стали S10C в области упрочнения ( $\varepsilon_0 \sim 10^{-2}$ )  $q_1 \approx \text{const} = 0,92$ . При такой модификации напряжений  $(\sigma_1, \sigma_3)$  (звездочку здесь и далее опустим) для любого пропорционального нагружения комбинацией растяжения и кручения из начального изотропного состояния  $O_0$  с высокой точностью векторы  $\sigma_0$  и  $\varepsilon_0$  сонаправлены, а диаграмма скалярных свойств  $\sigma_0 \sim \varepsilon_0$  не зависит от коэффициента пропорциональности между  $\sigma_1$  и  $\sigma_3$ .



Фиг. 2



Фиг. 3



Фиг. 4

продолжением кривой упрочнения при  $\sigma \geq \sigma_0$  (см. фиг. 2 а):

$$F_1(\varepsilon) = 2G\varrho h(\sigma_0 / (2G) - \varepsilon) + F_0(\varepsilon_0^p + \varepsilon)h(\varepsilon - \sigma_0 / (2G)) \quad (3.3)$$

Изучению функции обратного нагружения  $F_2(\varepsilon)$  посвящена обширная литература (см., например, [6]). Не останавливаясь на этом вопросе, будем считать  $F_2(\varepsilon)$  известной из опыта на обратное нагружение.

Установить закономерности поведения векторных свойств, исходя непосредственно из зависимостей  $\vartheta \sim \varepsilon$ , затруднительно. Картина проясняется, если построить графики  $\varepsilon_{n1} \sim \varepsilon$  (фиг. 2, с), где  $\varepsilon_{n1} = -\varepsilon \sin \vartheta$  – проекция вектора  $\varepsilon$  на вектор  $n_1$ , лежащий в плоскости  $(p, \sigma)$  ортогонально к  $\sigma$  и под острым углом к  $p$ . Накопление деформации  $\varepsilon_{n1}$  происходит в основном на начальном участке  $\varepsilon \leq \lambda(\alpha)$  ( $\lambda(\alpha)$  – деформация, при которой  $\sigma$  достигает своего предварительного значения  $\sigma_0$ ), а при дальнейшем продолжении процесса величина  $\varepsilon_{n1}$  изменяется мало. Такое поведение  $\varepsilon_{n1} \sim \varepsilon$  аппроксимирует следующая простая схема: линейная зависимость при  $\varepsilon \leq \lambda(\alpha)$  непрерывно переходит в константу при  $\varepsilon \geq \lambda(\alpha)$ . Так как  $\Psi = \Phi \operatorname{tg} \vartheta \approx \Phi \sin \vartheta = -\Phi \varepsilon_{n1} / \varepsilon$ , то функцию векторных свойств  $\Psi(\varepsilon, \alpha)$  будем искать в виде

$$\Psi(\varepsilon, \alpha) = a \psi_1(\alpha) \psi_2(\varepsilon, \lambda(\alpha)) \Phi(\varepsilon, \alpha) \quad (3.4)$$

Функция  $\psi_2$  реализует указанную схему поведения зависимости  $\varepsilon_{n1} \sim \varepsilon$  при данном  $\alpha$  (фиг. 4):

$$\psi_2(\varepsilon, \lambda(\alpha)) = \lambda(\alpha)[h(\lambda(\alpha) - \varepsilon) + \lambda(\alpha)/\varepsilon h(\varepsilon - \lambda(\alpha))] \quad (3.5)$$

Для функции  $\lambda(\alpha)$  целесообразна билинейная аппроксимация

$$\lambda(\alpha) = [b + (c - b)2\alpha/\pi]h(\pi/2 - \alpha) + [c + (d - c)(2\alpha/\pi - 1)]h(\alpha - \pi/2) \quad (3.6)$$

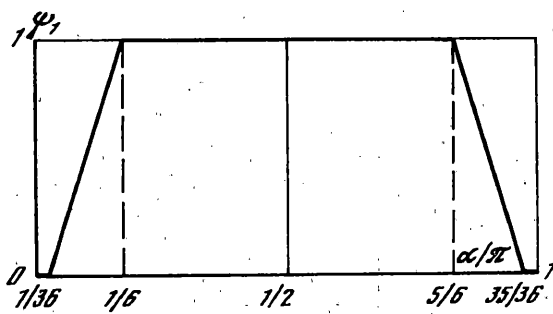
где  $b \equiv \lambda(0) = \sigma_0/(2G)$ ,  $c \equiv \lambda(\pi/2)$  – корень уравнения  $0,75F_1(c) + 0,25F_2(c) = \sigma_0$ ,  $d \equiv \lambda(\pi)$  – корень уравнения  $F_2(d) = \sigma_0$ .

Функция  $\psi_1$  служит для обращения в нуль функции  $\Psi$  на краях интервала  $[0; \pi]$ , что устраняет неопределенность (1.4) при  $\alpha = 0; \pi$  и имеет экспериментальное обоснование:  $\varepsilon_{n1} = 0$  при  $\alpha = \beta_0 = 0; \pi$  [9–12]. С учетом требования непрерывности функция  $\psi_1(\alpha)$  имеет вид, представленный на фиг. 5, или в аналитическом виде

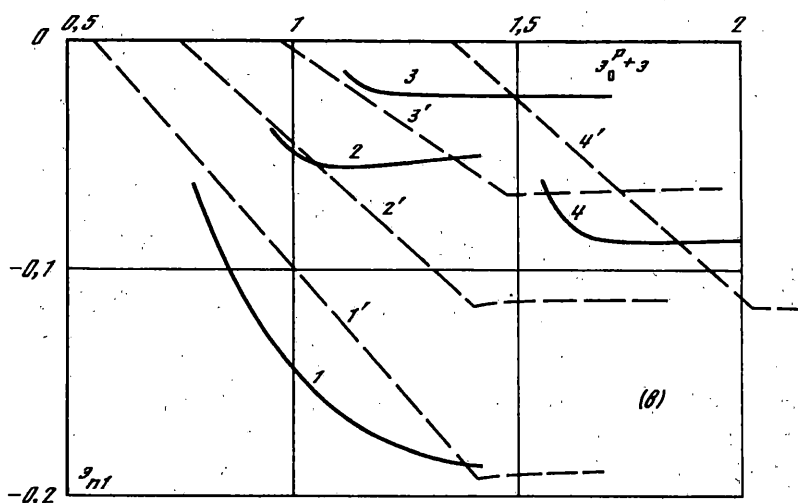
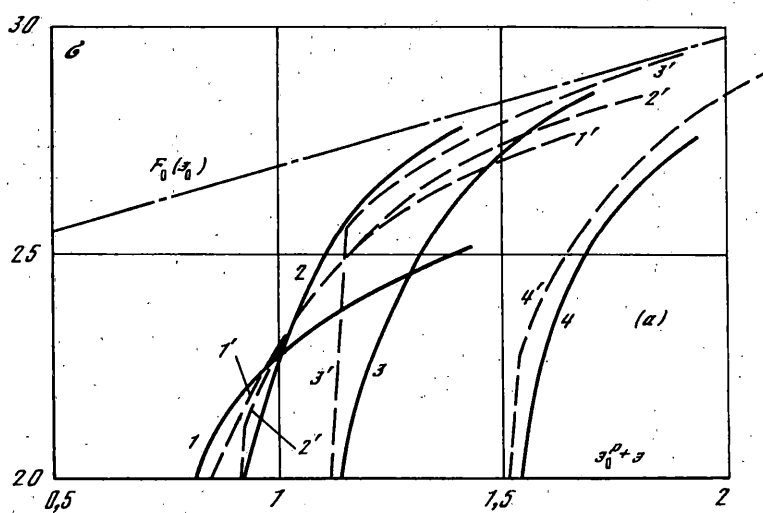
$$\begin{aligned} \psi_1(\alpha) = & \{(\alpha - \pi/36)h(\alpha - \pi/36) - (\alpha - \pi/6)h(\alpha - \pi/6) - \\ & - (\alpha - 5\pi/6)h(\alpha - 5\pi/6) + (\alpha - 35\pi/36)h(\alpha - 35\pi/36)\}36/(5\pi) \end{aligned} \quad (3.7)$$

Для определения значения  $a$  в (3.4) будем исходить из величины  $\varepsilon_{n1}$  в опытах с  $\beta_0 = \pi/2$  при  $\varepsilon \geq \lambda(\pi/2)$ . Кривые 4, 4b на фиг. 2, с (кривая 4b соответствует опыту с  $\beta_0 = \pi/2$  в серии b)) показывают, что эту величину можно считать константой  $a_1 = -0,001$ . Тогда при  $\varepsilon = \lambda(\pi/2)$  получим  $-a_1/\lambda(\pi/2) = \Psi(\lambda(\pi/2), \pi/2)/\sigma_0$ , откуда

$$a = -a_1/[\lambda(\pi/2)]^2, \quad a_1 = -0,001 \quad (3.8)$$



Фиг. 5



Фиг. 6

Результаты расчетов по соотношению (1.6) с функциями  $\Phi$ ,  $\Psi$  вида (3.1)–(3.8) представлены на фиг. 2 штриховыми линиями.

Обширное исследование повторного нагружения проведено В.П. Дегтяревым [10]. Тонкостенные трубчатые образцы (из сталей марок 1Х18Н10Т, 45, 30ХГСА) были испытаны по программам нагружения из класса  $Q_1$  с помощью осевого растяжения и внутреннего давления. На фиг. 6 представлены экспериментальные и теоретические кривые (соответственно сплошными и штриховыми линиями) скалярных и векторных свойств в четырех опытах с нержавеющей сталью 1Х18Н10Т:  $1 - \beta_0 = 2\pi/3$ ,  $2, 4 - \beta_0 = \pi/2$ ,  $3 - \beta_0 = \pi/3$ . Так как предварительная деформация  $\varepsilon_0$  была различной в разных опытах, то все данные представлены относительно общей (суммарной с  $\varepsilon_0'$ ) деформации. Теоретические кривые получены с использованием (1.6), (3.1)–(3.8), причем значение  $a_1$  взято равным  $-0,001$ , как и для стали S10C. Примечательно, что экспериментальные значения деформации  $\varepsilon_{n1}$  в опытах с  $\beta_0 = \pi/2$  при  $\varepsilon \geq \lambda(\pi/2)$ , которые определяют значение  $a_1$ , близки к  $-0,001$  также для сталей 45 и 30ХГСА [10], латуни BSBM1 [11], алюминиевого сплава 5056 (аналог АМг5) [12]. Поэтому целесообразно использовать значение  $a_1 = -0,001$  как универсальное приближение для всех металлов, вполне изотропных в начальном состоянии  $O_0$ .

Численно проверено, что функции  $\Phi$ ,  $\Psi$  вида (3.1)–(3.8), найденные из опытов [9–12] для исследованных в них металлов, удовлетворяют математическим условиям (2.4)–(2.6).

Таким образом, аппроксимации (3.1)–(3.8) относительно просто и в согласии с экспериментальными данными и условиями математической корректности определяют материальные функции  $\Phi$ ,  $\Psi$ , входящие в соотношение (1.6). Экспериментальному нахождению подлежат лишь две функции – активного простого начального нагружения  $F_0(\varepsilon_0)$  и обратного нагружения  $F_2(\varepsilon)$ , причем оба опыта являются односными.

Для упрощенных расчетов можно предложить инженерный вариант теории, в котором  $\Psi$  тождественно равно нулю:  $\sigma = \Phi(\varepsilon, \alpha)\varepsilon/\varepsilon_0$ ,  $\Phi(\varepsilon, \alpha)$  имеет вид (3.1)–(3.3). Этот вариант сохраняет описание анизотропии скалярных свойств, пренебрегая менее существенной и более сложной анизотропией векторных свойств. Сходное по форме соотношение предложено в работе [13], где функция  $\Phi$  определяется с помощью некоторой процедуры пересчета экспериментальных данных.

**4. Дальнейшие уточнения и обобщения. 1.** Область упругих деформаций, относящаяся к начальному этапу повторного нагружения, имеет свою специфику. Известно, что предварительное пластическое деформирование приводит к уменьшению модулей упругости, причем не только в направлении предварительного деформирования, но и в любом другом. Для сталей это уменьшение составляет от 2–8% [14, 15] до 10–20% [16] (разница в цифрах во многом связана со способом вычисления модулей: выделение начального линейного участка на реально нелинейной диаграмме  $\sigma \sim \varepsilon$  весьма условно). Величина уменьшения модулей слабо зависит от величины предварительной деформации  $\varepsilon_0$ , если  $\varepsilon_0 \sim 10^{-2}$ , но вследствие некоторой вязкости существенно зависит от времени отдыха материала между предварительным и повторным нагружениями: уже через несколько недель модули упругости практически восстанавливаются [16].

Величины модулей упругости определяют анизотропию скалярных упругих свойств материала. Исследование анизотропии векторных упругих свойств представляет более трудную задачу, так как требует изучения упругих деформаций в направлении, ортогональном к основному направлению процесса, то есть деформаций, на порядок меньших упругих в основном направлении. Экспериментальные данные [9, 10] представлены в терминах пластических составляющих деформаций, поэтому с достаточной точностью восстановить упругие участки экспериментальных кривых на фиг. 2, 6 невозможно. Констатируя необходимость дальнейшего изучения деформационной анизотропии упругих свойств металлов, укажем здесь ее двустороннюю оценку: с одной стороны – изотропная упругость с начальными модулями, с другой стороны – уменьшение модулей упругости на 20% (скалярная анизотропия), а также наличие угла  $\vartheta$

между  $\sigma$  и  $\varepsilon$  (фиг. 1), задаваемого соотношением (1.6) с функцией  $\Psi$  вида (3.4)–(3.8):  $\operatorname{tg}\vartheta = \alpha\psi_1(\alpha)\lambda(\alpha)$  и составляющего  $+(0-10)^\circ$  (векторная анизотропия).

2. Рассмотрим вопрос о зависимости функций  $\Phi$ ,  $\Psi$  (1.5) от величины предварительной деформации  $\varepsilon_0$ . Для этого целесообразно разбить область возможных значений  $\varepsilon_0$  на три интервала в соответствии с порядком  $\varepsilon_0$ :  $10^{-3}$ ,  $10^{-2}$ ,  $10^{-1}$ . Как показывают эксперименты [9–12], при  $\varepsilon_0 \sim 10^{-2}$  поведение скалярных и векторных свойств материала можно считать не зависящим от  $\varepsilon_0$  (что является проявлением общего свойства стабилизации пластических свойств металлов после деформаций порядка  $10^{-2}$ ). Чтобы перейти в аналитических аппроксимациях (3.1)–(3.8) от фиксированного  $\varepsilon_0$  к переменному, надо лишь учесть зависимость  $F_2(\varepsilon)$  от параметра  $\varepsilon_0$ . Так как в области значений  $\varepsilon_0 \sim 10^{-2}$  величина  $\sigma_0 = F_0(\varepsilon_0)$  изменяется относительно мало (обычно на 20–40%), то в первом приближении  $F_2(\varepsilon, \varepsilon_0) = qF_2(\varepsilon, \varepsilon_{0*})$ ,  $q = [F_0(\varepsilon_0)/F_0(\varepsilon_{0*}) + 1]/2$ , где  $\varepsilon_{0*} \sim 10^{-2}$  – некоторое фиксированное значение предварительной деформации, при котором экспериментально найдена функция обратного нагружения  $F_2(\varepsilon, \varepsilon_{0*})$ . Функцию  $\lambda(\alpha)$  можно считать не зависящей от  $\varepsilon_0$ , поэтому вид функций (3.1)–(3.8) останется неизменным. Такое обобщение на случай переменного  $\varepsilon_0$  использовано в расчетах, относящихся к серии опытов [10] (фиг. 6).

Область значений  $\varepsilon_0 \sim 10^{-3}$  является переходной от упругого предварительного деформирования, не вызывающего анизотропии, к уже рассмотренному развитому пластическому предварительному деформированию. В первом приближении связь  $\sigma \sim \varepsilon$  в этом случае можно получить линейной комбинацией соотношения  $\sigma/F_0(\varepsilon) = \varepsilon/\varepsilon_0$  (простое нагружение из начального состояния  $O_0$ ) и соотношения (1.6). Область больших предварительных деформаций  $\varepsilon_0 \sim 10^{-1}$  требует дальнейшего изучения, но можно ожидать, что отличие от случая  $\varepsilon_0 \sim 10^{-2}$  будет невелико.

3. Актуальной проблемой является исследование зависимости функций  $\Phi$ ,  $\Psi$  (1.5) от длины участка разгрузки  $|AO|$ . За исключением случая однородного напряженного состояния, после снятия внешних нагрузок в теле возникает поле остаточных напряжений, то есть разгрузка в любой материальной точке в общем случае не будет полной. В литературе описаны лишь единичные опыты на повторное нагружение после частичной разгрузки [17, 18]. Качественно их результаты наводят на мысль о построении функций  $\Phi$ ,  $\Psi$  в случае неполной разгрузки с помощью комбинации (в первом приближении линейной – вида  $\eta x + (1 - \eta)y$ , где  $\eta$  – отношение реальной разгрузки к полной) функций (3.1)–(3.8), относящихся к случаю полной разгрузки, и соответствующих функций в случае двузвенного деформирования без разгрузки в точке излома, которые хорошо изучены [14, 19] в теории двузвенных процессов. Для продвижения в вопросе о неполной разгрузке необходимы систематические экспериментальные исследования типа "веера траекторий" при различных  $\Delta\varepsilon_0$ , причем не только  $|\Delta\varepsilon_0| < \sigma_0/(2G)$ , но и  $|\Delta\varepsilon_0| > \sigma_0/(2G)$ .

4. Первоначальный класс процессов  $Q$  может быть расширен за счет включения близких (в том же смысле, что и в теории малых упругопластических деформаций [1, 2]) к  $Q$  процессов. К ним, в частности, можно отнести процессы класса  $Q_1$ . Кроме того, учитывая свойство пластической памяти металлов [20], можно расширить понятие предварительного нагружения: оно может быть не только однократным, но и многократным, если все предыдущие нагрузления, независимо от их направлений, имели меньшую интенсивность, чем последнее предварительное нагружение, направление которого и будет задавать вектор  $p$ .

Условия изменения во времени внешних нагрузок, при выполнении которых в каждой точке тела реализуется процесс из класса  $Q$  или близкий, установить трудно, но можно предположить, что это произойдет при пропорциональном возрастании внешних нагрузок, затем аналогичном их убыванию и последующем пропорциональном возрастании с иными, чем на первом этапе, коэффициентами пропорциональности.

Автор благодарен профессору Быкову Д.Л. за постановку задачи и научное руководство работой.

Работа выполнена при финансовой поддержке Российского фонда фундаментальных исследований (проект 95-01-01212а).

#### СПИСОК ЛИТЕРАТУРЫ

1. Ильюшин А.А. Пластичность. М.; Л.: Гостехиздат, 1948. 376 с.
2. Ильюшин А.А. Пластичность. М.: Изд-во АН СССР, 1963. 271 с.
3. Краева О.Д. Об одном варианте деформационно-анизотропной теории пластичности // Вестн. МГУ. Математика, механика. 1989. № 3. С. 97–99.
4. Пелешко В.А. Условия математической корректности варианта дифференциально-нелинейных соотношений пластичности и методы решения краевых задач // Вестн. МГУ. Математика, механика. 1990. № 6. С. 37–43.
5. Пелешко В.А. Экспериментальное исследование варианта теории упругопластического деформирования металлов при сложных нагрузлениях // Пробл. прочности. 1990. № 12. С. 48–53.
6. Москвитин В.В. Циклические нагрузжения элементов конструкций. М.: Наука, 1981. 344 с.
7. Пелешко В.А. К теории разгрузки упругопластических тел // Вестн. МГУ. Математика, механика. 1993. № 1. С. 84–89.
8. Гаевский Х., Грегер К., Захариас К. Нелинейные операторные уравнения и операторные дифференциальные уравнения. М.: Мир, 1978. 336 с.
9. Ohashi Y., Kawashima K., Nagahiko S. Precise experimental results and an analytical formulation of the subsequent plastic deformation of mild steel subjected to pre-stressing // Bull. JSME. 1975. V. 18. No. 125. P. 1218–1225.
10. Дегтярев В.П. Деформации и разрушение в высоконапряженных конструкциях. М.: Машиностроение, 1987. 105 с.
11. Yoshida F., Ikegami K., Shiratori E. Stress-strain relation of the material completely unloaded after plastic deformation in the combined reloading // J. Jap. Soc. Technol. Plasticity. 1977. V. 18. No. 198. P. 525–532.
12. Ohashi Y., Kawashima K. Effect of prestrain on plastic behaviour after corner on some loading paths // Trans. JSME. 1978. V. 44. No. 379. P. 882–893.
13. Шевченко Ю.Н., Бастун В.Н. К построению зависимостей между напряжениями и деформациями с учетом анизотропного упрочнения материала // Прикл. механика. 1978. Т. 14. № 6. С. 3–8.
14. Ленский В.С. Экспериментальная проверка основных постулатов общей теории упругопластических деформаций // Вопросы теории пластичности. М.: Изд-во АН СССР, 1961. С. 58–82.
15. Шишимарев О.А., Куэмин Е.Я. О зависимости упругих постоянных металла от пластических деформаций // Изв. АН СССР. ОТН. Механика и машиностроение. 1961. № 3. С. 167–169.
16. Жуков А.М. Упругие свойства пластически деформированного металла и сложное нагружение // Инж. сб. 1960. Т. 30. С. 3–16.
17. Kaneko K., Ikegami K., Shiratori E. Plastic deformation behavior of metal for complex loading paths // Bull. JSME. 1975. V. 18. No. 125. P. 1209–1217.
18. Khan A.S., Wang X. On non-proportional infinitesimal plastic deformation after finite plastic prestraining and partial unloading // J. Mech. Phys. Solids. 1988. V. 36. No. 5. P. 519–535.
19. Васин Р.А. Некоторые вопросы связи напряжений и деформаций при сложном нагружении // Упругость и неупругость. М.: Изд-во МГУ, 1971. Вып. 1. С. 59–126.
20. Miastkowski J. Analysis of the memory effect of plastically pretrained material // Arch. Mech. Stos. 1968. V. 20. No. 3. P. 261–277.

Москва

Поступила в редакцию

10.VII.1995